

УДК 532.516.013.4

© 1992 г. М. А. ГОЛЬДШТИК, Н. М. ЕРШ

## УСТОЙЧИВОСТЬ ТЕЧЕНИЯ ВО ВРАЩАЮЩЕЙСЯ ПОРИСТОЙ ТРУБЕ

В работе [1] исследовалась устойчивость стационарного автомодельного течения в пористой трубе при равномерном вдуве. В данной статье изучается влияние вращения трубы вокруг своей оси на устойчивость комбинированного стационарного движения с вращением и вдувом. В этом случае также, как и для течения Пуазейля во вращающейся трубе, решение представляется простой суперпозицией составляющих движений, когда вращение не оказывает влияния на меридиональное течение [2, 3]. Но уже в задаче об устойчивости вращения оказывает сильное воздействие. Так, пуазейлев поток во вращающейся трубе обнаруживает конвективную неустойчивость уже при небольших числах Рейнольдса, тогда как обе исходные компоненты движения абсолютно устойчивы в малом [4–7].

С практической точки зрения, рассматриваемая постановка представляет интерес в связи с проблемой генерации мощных акустических колебаний в закрученных потоках, в частности в вихревой камере, течение в приосевой области которой может быть промоделировано движением во вращающейся пористой трубе [2].

Рассматривается движение в пористой вращающейся трубе радиуса  $a$  с пространственным ускорением вдоль оси симметрии  $z$ . Уравнения Навье – Стокса допускают автомодельные решения [2, 3] в цилиндрической системе координат

$$v_r = v_r(r), \quad v_\phi = v_\phi(r), \quad v_z = z w(r) \quad (1)$$

В данной работе изучается устойчивость течения (1) к возмущениям скорости и давления вида

$$v_r = V_r + \frac{u}{r} \theta, \quad v_\phi = V_\phi + \frac{v}{r} \theta, \quad v_z = V_z + w \theta \quad (2)$$

$$p = P + q \theta, \quad \theta = \exp i(\alpha z + m \phi - \omega t)$$

где  $\alpha$ ,  $m$  — осевое и азимутальное волновые числа,  $\omega = \omega_r + i \omega_i$ ,  $\omega_r$  — частота,  $\omega_i$  — инкремент возмущений, которые нарастают при  $\omega_i > 0$ ,  $u$ ,  $v$ ,  $w$ ,  $q$  — малые комплекснозначные амплитуды возмущений, зависящие только от  $r$ .

Такие возмущения в [1] условно названы классическими и показано, что исследование на устойчивость достаточно проводить относительно таких возмущений, установлено, что самая опасная мода — неосесимметричная с  $m = -1$ . Для каждой из компонент скорости основного течения введены свои характерные масштабы  $V_r(a)$ ,  $V_\phi(a)$  и  $V_z(0) = z W(0)$ , которым соответствуют три числа Рейнольдса:  $R_r$ ,  $R_\phi$  и  $R_z$ . Линеаризуя уравнения Навье – Стокса, для малых комплекснозначных амплитуд возмущения получаем систему обыкновенных дифференциальных уравнений

$$u' = -i \left( \frac{m}{r} v + arw \right), \quad v' = v_1, \quad w' = w_1$$

$$\begin{aligned}
q' = & -\frac{1}{r} \left\{ \left[ \Omega + R \left( W + \frac{2V_r}{r} \right) \right] u - (imRV_r + 2R_\varphi V_\varphi) \frac{v}{r} - \right. \\
& \left. - i\alpha RrV_r w + \frac{im}{r} v_1 + i\alpha r w_1 \right\} \\
v_1' = & \left[ R_\varphi \left( V_\varphi' + \frac{V_\varphi}{r} \right) - \frac{2im}{r^2} \right] u + \Omega v + imq + \left( RV_r + \frac{1}{r} \right) v_1 \\
w_1' = & R_z V_z' \frac{u}{r} + (\Omega + RW) w + i\alpha q + \left( RV_r - \frac{1}{r} \right) w_1 \\
\Omega = & \frac{m^2}{r^2} + \alpha^2 + i \left( \frac{m}{r} R_\varphi V_\varphi + \alpha R_z V_z - \omega \right) \\
R = & \frac{aV_r(a)}{\nu}, \quad R_\varphi = \frac{aV_\varphi(a)}{\nu}, \quad R_z = \frac{aV_z(0)}{\nu}
\end{aligned} \tag{3}$$

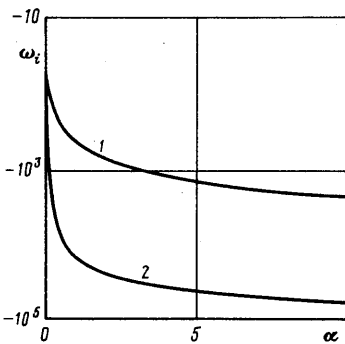
Система (3) получена в результате «замораживания» переменной  $z$ , которую можно выразить через введенные параметры  $z=R_z/RW(0)$ . Для возмущений  $u$ ,  $v$ ,  $w$  ставятся условия аналитичности на оси трубы и прилипания на стенке [1]. Ранее в работе [8] рассмотрена система, эквивалентная (3), при  $R=0$ . Метод решения задачи, использующий несимметричную прогонку, изложен в [1].

В полной постановке линейная задача гидродинамической устойчивости имеет шесть параметров:  $R$ ,  $R_\varphi$ ,  $R_z$ ,  $\alpha$ ,  $m$ ,  $n$ , где  $n$  – спектральный номер собственного значения  $\omega_n$ .

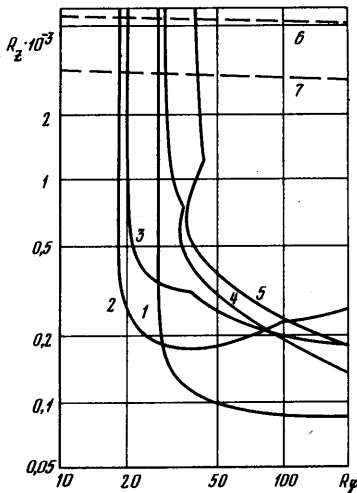
Система (3) охватывает широкий круг осесимметричных задач, в число которых входят и поставленные точно, без «замораживания». Сюда относится одномерное течение Пуазейля в круглой трубе, которая может и вращаться. Это классическое течение устойчиво в малом [9], однако принято считать, что с ростом рейнольдса числа  $R_z$  запас устойчивости уменьшается и при  $R_z \rightarrow \infty$  течение становится нейтрально устойчивым. На фиг. 1 представлены результаты расчетов зависимости  $\omega_i(\alpha)$  для моды  $m=0$  при  $R_z=5000$  (кривая 1) и  $R_z=10^6$  (кривая 2), причем  $\omega_i(0)$  является конечной величиной. Эти «разрезы» для осесимметричного случая радикально отличаются от плоского случая, когда зависимость  $\omega_i(\alpha)$  имеет локальный максимум, который и приводит к неустойчивости при  $R_z=5770$ . Из фиг. 1 видно, что с ростом  $R_z$  тенденции к нейтральности не наблюдается, так что и при  $R_z \rightarrow \infty$  течение в круглой трубе обладает конечным запасом устойчивости, хотя, возможно, и малым.

В дальнейшем рассматриваются задачи о течении во вращающейся пористой трубе с глухим торцом  $z=0$ . В этом случае основными параметрами являются числа  $R$  и  $R_\varphi$ , характеризующие интенсивность вдува и скорость вращения трубы. При переборе всех приведенных выше параметров задача становится необозримой, поэтому изучаются только нейтральные возмущения с  $\omega_i=0$  и  $m=-1$ , кроме того, определяются лишь критические параметры  $\alpha=\alpha^*$  и  $R_z=R_z^*$ , которые соответствуют «носикам» нейтральных кривых. Заметим, что в рассматриваемой постановке числа  $R_z$  и  $R$  связаны между собой соотношением  $R_z=RW(0)z$ , где  $W(0)$  определено выше.

Можно поставить вопрос: при каких параметрах задачи в пористой вращающейся трубе впервые наступает неустойчивость? В [7] рассчитана зависимость  $R_z^*$  от  $R_\varphi$  при  $R=0$ , установлено существование такого минимального  $R_\varphi$ , что при  $R_\varphi < R_{\varphi_{min}} = 26,96$  все возмущения затухают, при этом впервые неустойчивость проявляется при  $R_z^* \rightarrow \infty$ . В [1] аналогичное утверждение установлено для случая невращающейся трубы при



Фиг. 1



Фиг. 2

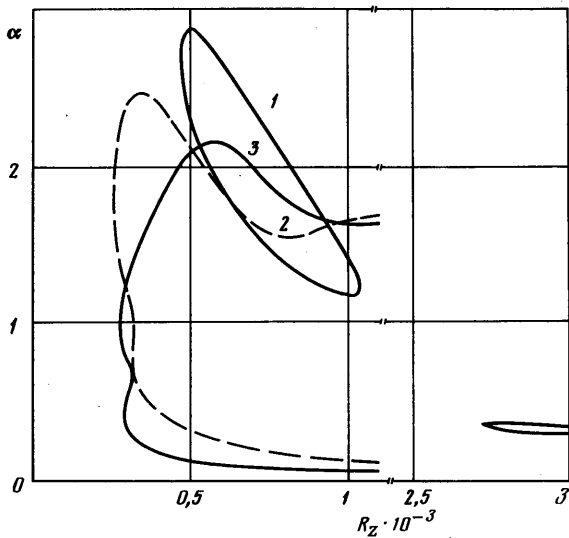
$R_\varphi = 0$  и найдено наименьшее значение параметра вдува  $R = R_{\min} = -23,94$ , при котором впервые возникает неустойчивость.

Исследуя влияние вращения на устойчивость течения в трубе при вдуве, можно по непрерывности идти двумя путями: либо от вращающейся трубы без вдува, либо от трубы со вдувом, но без вращения. Между этими двумя случаями существует принципиальная разница. Если в первом из них числа Рейнольдса  $R_z$  составляют величины порядка сотен, то во втором — порядка тысяч, что характерно для сдвиговой неустойчивости.

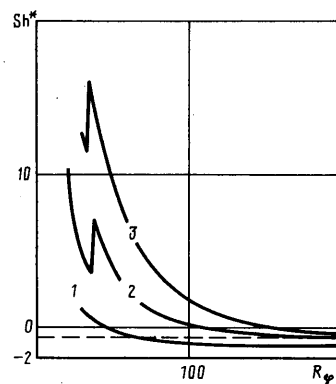
Как показывают расчеты, во втором случае влияние вращения невелико. С увеличением  $R_\varphi$  от нуля значение критического параметра  $R_z^*$  мало отличается от случая невращающейся трубы. При этом минимальное значение  $R$  по модулю несколько уменьшается. Если же, как и в первом случае, увеличивать параметр вдува  $|R|$  от нуля, то обнаруживается, что вдув во вращающуюся трубу оказывает сильное воздействие на устойчивость. Это демонстрирует фигура 2, где представлены зависимости  $R_z^*$  от  $R_\varphi$  для  $R=0, -5, -10, -20, -30$  (кривые 1—5).

По мере усилия вдува предельное значение  $R_{\varphi \min}$  сначала снижается от 26,96 до 17,8 при  $R=-5,5$ , а затем возрастает. Таким образом, существует нижняя граница  $R_{\varphi \min}=17,8$ , при которой еще возможна конвективная неустойчивость. При  $R_\varphi < R_{\varphi \min}$  критическое значение  $R_z^*$  скачком возрастает до значений, приведенных штриховыми линиями на фиг. 2, соответствующих сдвиговой неустойчивости. Кривая 6 представляет результат для  $R=-30$ , а кривая 7 —  $R=-60$ .

Обращает на себя внимание неоднозначность зависимостей  $R_z^*(R_\varphi)$  при некоторых  $R$ . Одному и тому же значению  $R_\varphi$  при данном  $R$  могут соответствовать два или даже три критических числа Рейнольдса  $R_z^*$ . Это отчетливо видно для значений  $R=-20$  и  $R=-30$ . Кроме того, некоторые кривые имеют точки излома. Столь сложная картина — следствие необычного характера нейтральных кривых. Если для предельных случаев  $R=0$  и  $R_\varphi=0$  все нейтральные кривые представляют собой простые разомкнутые линии с одним носиком [7, 10], то в случае вдува в пористую вращающуюся трубу нейтральных кривых может быть две, они могут иметь два носика, отвечающие различным значениям  $\alpha$ , и даже быть замкнутыми. Примеры, показанные на фиг. 3, соответствуют сле-



Фиг. 3



Фиг. 4

дующим значениям  $R$  и  $R_\varphi$  ( $-30, 41$ ) – кривые 1 и 4; ( $-10, 50$ ) – кривая 2; ( $-3,792, 200$ ) – кривая 3. Для каждого значения  $R$  существует такое  $R_\varphi$ , что на носике соответствующей нейтральной кривой равно нулю не только  $\omega_i$ , но и  $\omega_r$ . Это означает бифуркацию нового стационарного режима от исходного. Этот новый режим не является осесимметричным, так что здесь имеет место спонтанная потеря осевой симметрии течения. При данном  $R$  значение  $\omega=0$  может быть достигнуто на кривой  $R=\text{const}$  фиг. 2 либо в одной точке, либо в двух, в зависимости от местоположения точки разветвления. В этих двух точках различны  $R_\varphi$ ,  $R_z$  и  $\alpha$ . Вследствие этого бифуркационная зависимость  $R_\varphi(R)$ , отвечающая наименьшему значению  $R_z$ , имеет скачок при  $R=-4,5$ .

На фиг. 4 представлены зависимости критической частоты, выраженной числом Струхала  $Sr^* = \omega / \sqrt{R^2 + R_\varphi^2}$ , от безразмерной тангенциальной скорости  $R_\varphi$  для  $R=0, -10, -20$  (кривые 1–3). При  $R_\varphi > 150$  величины  $Sr^*$  принимают практически постоянное значение  $Sr^* \approx 0,6$ , которое хорошо согласуется с данными эксперимента [11], что показано штриховой линией на фиг. 4. Видно, что при любом параметре вдува  $R$  существует точка бифуркации стационарного решения, когда  $\omega=0$ . Далее с уменьшением  $R_\varphi$  происходит бурный рост частот, а затем, возможно, срыв генерации колебаний, но подтвердить это может только нелинейный анализ.

#### СПИСОК ЛИТЕРАТУРЫ

- Гольдштик М. А., Ерш Н. М. Устойчивость течения в трубе со вдувом // Изв. АН СССР. МЖГ. 1989. № 1. С. 63–71.
- Гольдштик М. А. Вихревые потоки. Новосибирск: Наука, 1981. 366 с.
- Гольдштик М. А. Один класс точных решений уравнений Навье – Стокса // ПМТФ. 1966. № 2. С. 106–109.
- Pedley T. J. On the instability of rapidly rotating shear flows to non-axisymmetric disturbances // J. Fluid Mech. 1968. V. 31. № 3. P. 604–607.
- Pedley T. J. On the instability of viscous flow in a rapidly rotating pipe // J. Fluid Mech. 1969. V. 35. № 1. P. 97–115.
- Maslowe S. A. Instability of rigidly rotating flows to non axisymmetric disturbances // J. Fluid Mech. 1974. V. 64. № 2. P. 307–317.
- Mackrodt P.-A. Stability of Hagen – Poiseuille flow with superimposed rigid rotation // J. Fluid Mech. 1976. V. 73. № 1. P. 153–164.

8. Гольдштак М. А., Штерн В. Н. Гидродинамическая устойчивость и турбулентность. Новосибирск: Наука, 1977. 366 с.
9. Ахметов В. К., Шкадов В. Я. Развитие и устойчивость закрученных течений // Изв. АН СССР. МЖГ. 1988. № 4. С. 3–11.
10. Ерошенко В. М., Зайчик Л. И. Гидродинамика и тепломассообмен на проницаемых поверхностях. М.: Наука, 1984. 274 с.
11. Белоусов А. Н. Исследование турбулентных и акустических характеристик закрученного воздушного потока в коротких вихревых камерах // Вихревой эффект и его промышленное применение: Матер. Всесоюз. науч.-техн. конф. Куйбышев, 1981. С. 303–307.

Новосибирск

Поступила в редакцию  
4.V.1990